

討37 焼もどしマルテンサイト鋼の水素による粒界破壊機構

鉄道技術研究所

松山嘉作

1 緒言

高力ボルトのような低合金焼もどしマルテンサイト鋼の過剰大気環境下における過剰破壊感受性は、引張強さが 1.2 GPa を越えると急増する。この限界強度は旧より粒界が水素によって割れるかどうかによって決められる。旧より粒界は P などの不純物の偏析によって凝集力が低下し粒界割れ(IGF)を生じやすくなることは焼もどし脆性として知られており、市販鋼の場合、延性域特に軸位状態にはとくに Mn の偏析を生じ、このミクロ偏析部では P の粒界偏析も初晶部より顕著になると想われる。そのため水素による過剰破壊の第 1 段階はミクロ偏析帯での IGF の発生である。¹⁾ 第 2 の段階はミクロ偏析帯に生じた IGF が偏析帯外へ拡大する過程である。この場合には Fig. 1 に示すように強度の低下(焼もどし温度の上昇)と共に IGF から繊維状剥離(QCF), ミクロボイド結合型破壊(MVC)へと変化する。き裂の発生から伝播の全過程を破壊力学的に扱うことはできないので、ニニでは塑性仕事率を過剰破壊因子として用い、過剰破壊感受性の強度依存性を検討した。

2 き裂進行に伴う塑性仕事

マルテンサイト鋼が水素によって 100% IGF を生ずるときの最大 K_{ISCC} は Fig. 1 に示すように約 10 MPa \sqrt{m} であり、これはき裂不安定化条件に含まれる裏面エネルギー項目に換算すると約 500 J/m² となる。鉄の裏面エネルギーは 2 J/m² 程度にすぎないから、これは塑性仕事率 δ_p と考へてよい。ニニではまず簡単なモデルで δ_p を評価しておく。

き裂先端を中心に半径 R の塑性域を考え、き裂に垂直な応力 σ_y によって仕事がなされるとする。き裂面に平行にき裂進行方向に沿った Z 軸上の ϵ_y の分布は

$$\begin{cases} 0 \leq z \leq r_0, & \sigma_y = \sigma_c \\ r_0 \leq z \leq R, & \sigma_y = \sigma_{ys} + \bar{\sigma} \epsilon_y^m \end{cases} \quad (1)$$

また塑性歪 ϵ_y の分布はき裂先端からの距離 r に対して

$$\begin{cases} 0 \leq r \leq r_0, & \epsilon_y = \epsilon_c \\ r_0 \leq r \leq R, & \epsilon_y = A/r \end{cases} \quad (2)$$

とする。ニニで σ_c は破壊応力で凝集力 σ_b に対して

$\sigma_c = \alpha \sigma_b$ ($\alpha < 1$) であり、水素や不純物によって低下するが、降伏強さ σ_{ys} には影響しないものとする。A は定数、m は過硬化指数で、必ずしも σ_{ys} によらずとする。

Z 軸上の単位面積当たりの塑性仕事率 w は、 ϵ_y と子午向変位 u_y の積であるから、

$$w = \sigma_y u_y = 2\sigma_y \int_0^{\sqrt{R^2 - z^2}} \epsilon_y dz = 2A[\sigma_{ys} + \bar{\sigma}(A/z)^m] \ln \frac{R + \sqrt{R^2 - z^2}}{z} \quad (3)$$

全塑性仕事率 W とすると、き裂が da だけ伸びたときの塑性仕事率増分 δ_p は dW/da である。塑性仕事率はき裂進行と共に累積されながら、 $z \leq r_0$ では飽和して $dW/da = 0$ となる。

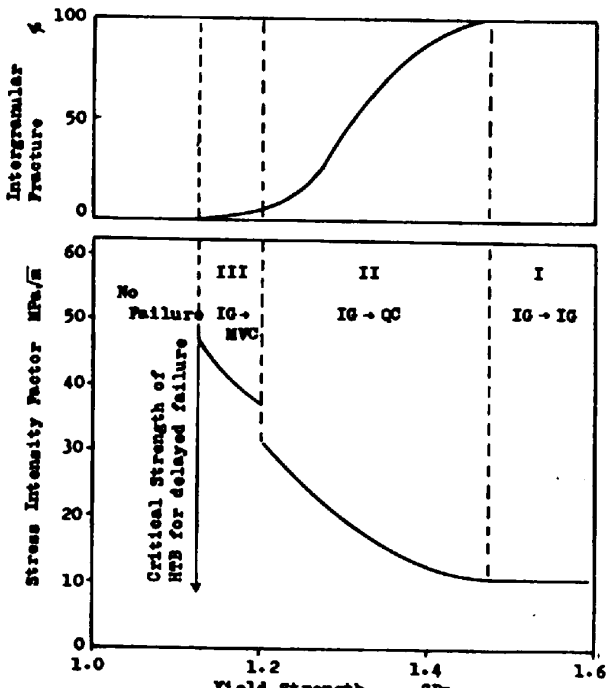


Fig. 1 Three types of fracture process for martensitic steel in atmospheric environment depending on the strength.

$$L = \frac{d\omega}{da} = \int_{r_0}^R \frac{\partial \omega}{\partial a} dx = - \int_{r_0}^R \frac{\partial \omega}{\partial z} dx = \omega(r_0) - \omega(R) \quad \dots \dots (4)$$

Rice²⁾によれば、塑性域内の σ_y は $z = 2\delta_t$ (δ_t はき裂開口量) で最大になる。また Friedel³⁾の転位き裂モデルによれば、 $\delta_t = \sigma_{ys} R / G$ (G は剛性率) であるから、

$$r_0 = 2\delta_t = 2\sigma_{ys} R / G \quad \dots \dots (5)$$

とする。また R として平面応力条件での塑性限寸法⁴⁾を用いれば、

$$R = \frac{l}{6\pi} \left(\frac{\sigma_c}{\sigma_{ys}} \right)^2 \quad \dots \dots (6)$$

ここで σ_c は切欠による巨視的な応力場ではなく、切欠先端に生ずる微小き裂による応力拡大係数である。(1)(2)式より $A = r_0 \left(\frac{\sigma_c - \sigma_{ys}}{\sigma} \right)^{\frac{1}{m}}$ であるから、(5)(6)式を用いれば (4)式は次のようになる。

$$\delta_p = \frac{2}{3} \frac{\sigma_c \sigma_{ys}^2}{\pi G \sigma_{ys}} \left(\frac{\sigma_c - \sigma_{ys}}{\sigma} \right)^{\frac{1}{m}} \ln \frac{G}{\sigma_{ys}} \quad \dots \dots (7)$$

3 粒界き裂の発生条件

粒界割れを生ずる条件は、1) 転位が粒界に堆積して応力集中を生ずること、2) 応力集中は隣接粒の転位増殖によって緩和されることがある。そのためには降伏点の高い炭化物が障害物として粒界に存在する必要がある。^{5,6)} さらに3) 炭化物の破壊強度よりも粒界屈曲力が小さくなくてはならない。これら3つの条件が満足されたときの粒界破壊モデルを Fig. 2 のように考える。すなわち、粒界は引張応力 σ_y に垂直で、これらに対し 45° 傾いたすべり面上でせん断応力をによって n 個の転位が炭化物界面に堆積する。このような転位列の先端から粒界に沿って走行した位置での局部垂直応力は、Stroh⁷⁾の式を用いれば、 $(L/x)^{\frac{1}{2}}(\tau - \tau_s)$ 、ただし L は転位すべり距離、 τ_f はまさつ力、と仮定から、粒界屈曲力を σ_b とすれば、粒界割れの必要条件は、

$$\sigma_\infty (= 2.5 \sigma_{ys})$$

$$\sigma_y + \left(\frac{L}{x} \right)^{\frac{1}{2}} (\tau_{ys} - \tau_f) \geq \sigma_b \quad \dots \dots (8)$$

ここで τ_{ys} はせん断降伏応力で、き裂発生領域である切欠先端の弾塑性境界では $\tau = \tau_{ys}$ である。

他方粒界割れの十分条件としての不安定拡大は Bilby⁸⁾の一級化した転位き裂拡大条件を用いれば、

$$\delta_p \leq 0.8mb(\sigma_y + P_{H_2}) \quad \dots \dots (9)$$

ただし、 P_{H_2} はき裂内に生ずる水素圧力、 b はバーゲスベクトルである。

複数転位列は次式で与えられる。⁹⁾ (ν は不弾性比)

$$n = \frac{2(1-\nu)(\tau_{ys} - \tau_f)L}{Gb} \quad \dots \dots (10)$$

Fig. 2 Crack initiation model.

高力ボルトのように先端の鋸くない切欠下の弾塑性境界では $\sigma_y = 2.5\sigma_{ys}$ 程度であるから、 $\sigma_{ys} = 2\tau_{ys}$ 、 $\sigma_f = 2\tau_f$ とおいて (9)式を書き直すと、

$$\delta_p \leq \frac{0.8(1-\nu)}{G} (\sigma_{ys} - \sigma_f)(2.5\sigma_{ys} + P_{H_2}) L \quad \dots \dots (11)$$

となり、右辺も强度体積性をもつ。

(7)式と式(11)の右辺をそれぞれ $2.5\sigma_{ys}$ について消すと Fig. 3 のようになる。ここで (6)式

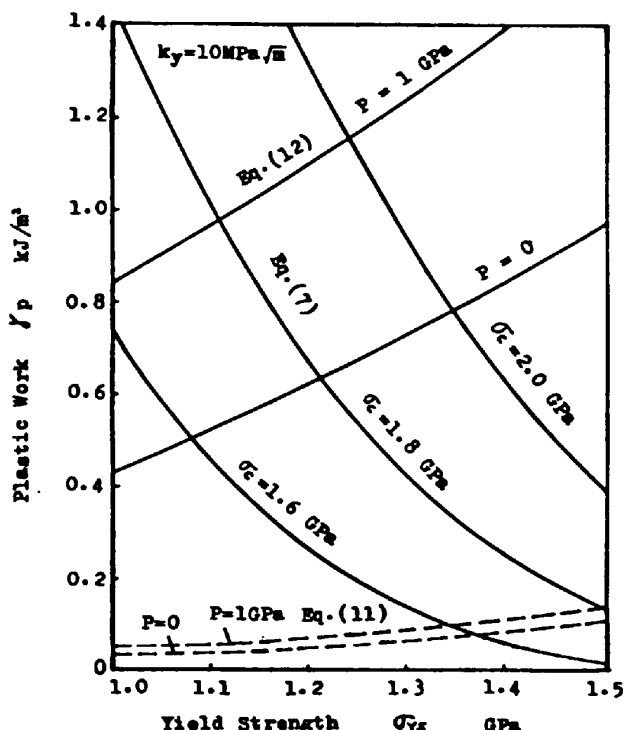


Fig. 3 Correlation between crack instability and yield strength for intergranular cracking.

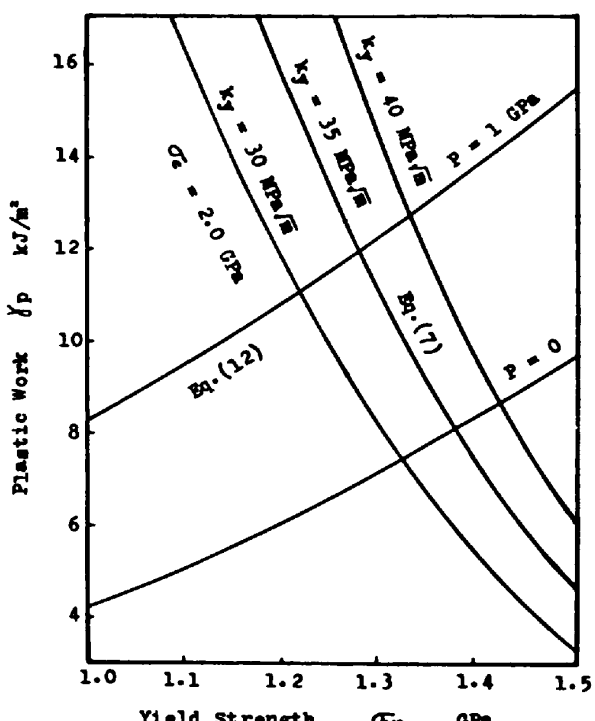


Fig. 4 Correlation between crack instability and yield strength when fracture mode changes from IGF to QCF or MVC.

Fig. 1 には Fig. 1 の最小 K_{ISCC} 値 10 MPa·m を用いたが、実験的な k_y 値としては過大である可能性がある¹³⁾。他のパラメータとしては、 $m=0.5$, $\bar{\sigma}=0.95 \text{ GPa}$, $L=5 \mu\text{m}$, $\sigma_f=700 \text{ MPa}$ を用いた。

水素の影響は σ_c の低下と P_{H_2} の上昇として現われるが、図の範囲では σ_c が水素により 1.6 GPa まで低下した場合、 $\sigma_{ys} > 1.35 \text{ GPa}$ のときにき裂は不安定化する。また二の場合 1 GPa 程度の P_{H_2} の増加は限界強度に大きな影響を及ぼさない。すなわち、き裂発生条件に対しては水素の効果は主として凝集力の低下として生ずる。

4 き裂の伝播条件

き裂直行と共に Y_p が増加しなければ (11) 式が満足されるとき裂は粒界分岐点で有効垂直応力が低下するまで不安定に拡大する。ところが粒界炭化物は一般に不連続で、き裂は炭化物のない粒界に達すると局部的に σ_{ys} が低下するため Y_p は増加する。McMahon¹⁴⁾ は Y_p がき裂速度に直比例すると (11) 式を導出して、き裂速度が炭化物界面で十分に高くなれば Y_p は低下するから粒界割れは持続すると考えた。岸ら¹⁵⁾によれば、4340 鋼の水素誘起粒界割れの AE 原波形解析から、大部分の AE の 1 事象は 1 粒界単位を含む、そのときの平均き裂速度は 100 m/s になると。二つとは (11) 式を満足して一旦不安定化したき裂は、垂直なき裂拡大によって P_{H_2} は減少するにもかかわらず、一粒界内では停止しないことを示唆している。

き裂が最初の粒界から次の粒界へ伝播する場合は、粒界が傾斜するため σ_{ys} の有効成分が減少するが、ミクロ偏析帶内では粒界凝集力の弱さにより IGF は同じやす。また大きさ $2a$ に達したき裂の不安定条件は、

$$Y_p \leq G_2 = \frac{\pi(1-\nu^2)}{E} (\sigma_y + P_{H_2})^2 a \quad \dots\dots\dots (12)$$

G_2 はヤング率、 G_2 は歪エネルギー解放率である。

(12)式の右辺を $2a=10\mu m$, $\sigma_y=2.5 \text{ GPa}$ として $P=0$, また $\sigma_c=1 \text{ GPa}$ の場合について Fig.3 に示した。この場合はき裂発生時と異なり水素の効果は σ_c の低下と同時に P_{H_2} の増加としても大きく現われる。き裂発生時と同様に $P=1 \text{ GPa}$, $\sigma_c=1.6 \text{ GPa}$ とすると(7)式との差異はき裂発生条件に比較して倍強度側にある。

すなわち、転位き裂が不安定化する強度水準であれば、 σ_c の有効成分が多少減少してもき裂拡大は容易であると推定される。実際にはミクロ偏析帶内で転位直なオ位をもつ粒界に独立にき裂を発生し相互に連結する場合や、隣接粒界に次々と直線伝播する場合がある。き裂が急速拡大したために低下した P_{H_2} の再上昇と、き裂先端粒界への応力誘起拡散による水素の集中と σ_c の低下は、短範囲水素拡散の時間遅れを伴う。 1 GPa の P_{H_2} は de Kazinczy¹²⁾ の平衡論から室温における鉄中の水素の固溶限に対応する(10 atm ppm)。しかしながら、 σ_c (あるいは σ_c) の水素濃度依存性は明らかでない¹³⁾ので、この結果で水素の寄与が σ_c と P_{H_2} のどちらに大きいかを評価することはできない。

5 ミクロ偏析帶から外へのき裂拡大

偏析帶から外へ拡大する場合、低温純もどし材では粒界炭化物の障害効果が大きく、 σ_c への水素の寄与が持続してIGFを生ずる。焼もどし温度が上昇するにつれて粒界炭化物は凝集して障害効果を失い、隣接粒の塑性変形によって粒界自体が変形しやすくなる。そのためIGFは生じなくなり、破壊モードは QCF か MVC になる(Fig.1)。この場合は粒界のように不純物と水素が偏析した特定脆化領域がないため σ_c への水素の影響は小さくなり、水素の破壊への寄与は主として P_{H_2} の上昇によるようになる。

$IGF \rightarrow QCF$ の場合はき裂先端の鋸歯化はそれ程大きくなりであろうから、不安定破壊条件は(12)式が適用できる。そこで $2a$ としてミクロ偏析帶の大きさ $100\mu m$, P_{E2} として Fig.1 の $IGF \rightarrow QCF$ の最大 K_{ISCC} $30 \sim 40 \text{ MPa}\sqrt{m}$, $\sigma_c=2 \text{ GPa}$ として(7)式の δp との関係を示すと Fig.4 のようになる。この結果、 $P=1 \text{ GPa}$, $k_2=40 \text{ MPa}\sqrt{m}$ の限界強度が Fig.3 に示したき裂発生条件の限界強度に近い値になる。すなわち $IGF \rightarrow IGF$, $IGF \rightarrow QCF$ のような破壊モードを示す強度水準では破壊条件はき裂発生条件によって決定されるものと考えられる。

6 結言

簡単なモデルを用いてき裂が直展する場合の塑性仕事 δp を評価し、転位き裂からミクロ偏析帶の大きなき裂までの不安定破壊条件を検討した。その結果、偏析帶起業から $IGF \rightarrow IGF$, $IGF \rightarrow QCF$ モードで破壊する強度水準ではき裂発生条件が破壊を支配すると推定された。これに対して、 $IGF \rightarrow MVC$ モードにはこのような低強度材ではミクロ偏析帶から外への伝播条件が破壊を支配する可能性がある。このような破壊はミクロ偏析帶程度の小さなき裂発生が延性破壊を惹起する小型試験片での観察されるもので、この強度水準は实用上は屈曲破壊を生じるものと考えられる。

- 参考文献 1) 松山: 鉄と鋼, 69 (1983) No1, 2) J.R.Rice: SCC and HE of Iron Base Alloys, NACE-5, (1973) Unieux-Firminy, P11, 3) J. Friedel; Fracture, (1959) J. Wiley, New York, P478, 4) 国村; 单型破壊力学入門 (1976) +別冊, P79, 5) C.J.McMahon and V.Vitek: Act Met. 27 (1979), P507, 6) M.L.Jakel, V.Vitek and C.J.McMahon: Act Met. 28 (1980) P1479, 7) A.N.Stroh: Proc Roy. Soc. A223 (1954) P404, 8) B.A.Bilby and J.Hewitt: Act Met. 10 (1962), P587, 9) 鈴木; 転位輸入力, (1967) アグネ, P131, 10) J.Kameda: Met Trans: 12A (1981), P2039, 11) 鈴木, 大平; 鉄と鋼 68 (1982), S1415, 12) de Kazinczy: Act Met. 7 (1959), P525.